

Physical Modeling 을 이용한 단소 음 합성

성덕현, 김규년
울산대학교 컴퓨터 정보통신공학부
e-mail : raivator@yahoo.co.kr

Synthesizing the Dan-So sound using the Physical Modeling

Duk Hyun Seong, Kyoo Nyun Kim
School of Information and Communication Technology, University of Ulsan

요 약

본 논문에서는 Physical Modeling 을 이용해 단소의 음을 합성해 내는 방법에 대해 연구 하였다. 현재 관 악기의 음 합성 방법은, Julius O. Smith 가 제안한 digital waveguide 모델을 근간으로 하여 여러 악기들의 소리를 합성하는 방법에 대해 연구 되고 있다. 본 논문에서는 digital waveguide 모델을 사용하여 단소 관속의 움직임, two-port scattering model 을 이용한 관속과 음공 사이의 공기의 움직임에 대해 기술 하였고, reflection filter 를 사용하여 단소 끝부분에서의 신호의 변화에 대해 연구 하였으며, 끝으로 관 내벽과 공기의 마찰에 의한 신호 손실에 대한 연구를 기술 하였다.

위에서 언급한 내용들의 연구결과를 토대로 음을 합성한 결과 실제 단소의 소리와 유사한 소리를 얻어 낼 수 있었다.

1. 서론

최근 들어 거의 모든 음반작업에 있어 컴퓨터나 전자 악기의 비중은 무시할 수 없을 만큼 중요한 위치를 차지하게 되었다. 이 때문에 컴퓨터나 전자악기에 대한 연구가 활발히 이루어 지고 있으며, 특히 실제 악기소리를 합성해 내는 방법에 연구가 활발히 이루어지고 있는 실정이다.

하지만 기존의 음 합성에 대한 연구는 해외의 업체들에 의해 이루어 졌고 대부분 서양 악기에 대한 연구에 치중 되어 왔을 뿐, 국악기에 대한 연구는 그리 활발하게 이루어 지지 않았다. 따라서 본 논문에서는 국악기중 단소의 음을 합성해 내는 방법에 대하여 연구 하였다.

음 합성 방법으로는 크게 Table look-up 방식과 physical modeling 방식으로 나눌 수 있다. 이 중 table look-up 방식은 음원의 sample 을 메모리에 저장해 두었다가 사용자가 이를 적절히 조작하여 원하는 음을 합성해 내는 방식으로, 장비 제작 비용에 비해 양질의 소리를 만들어낼 수 있기에 가장 일반적으로 사용되는 방식이다. 하지만 이 방식은 한정된 수의 음원 sample 만을 가지고 다양한 음을 출력해 내야 하기 때

문에 원래 악기 소리를 왜곡시킬 수밖에 없다는 단점이 있다. 이에 반해 physical modeling 방식은 실제 악기의 물리적 움직임을 수학적으로 modeling 하기 때문에 table-lookup 방식에 비해 좀더 실제 악기 음에 가까운 음을 합성해 낼 수가 있다. 따라서 본 논문에서는 ‘Physical modeling’ 을 이용한 단소 음 합성에 대하여 연구하였다.

2. 악기 모델

2.1 관 속에서의 파동의 움직임

단소의 내부에서의 공기의 움직임을 모델링 하기 위해서, 단소를 한쪽만 open 된 pipe 라 가정할 수 있다. 그리고 관 내부에서의 공기의 파동을 x-축을 따라 이동하는 평면파라고 가정 한다면 파동 방정식을 통해 이를 모델링 할 수 있다. 공기의 압력(p), 속도(c), 시간(t), 위치(x)의 관계를 (식 2-1)으로 나타낼 수 있다.

$$\frac{\partial^2 p}{\partial x^2} = \frac{1}{c^2} \frac{\partial^2 p}{\partial t^2} \quad \text{----- (식 2-1)}$$

(식 2-1)을 다시 d' Alembert's traveling-wave

본 연구는 한국과학재단 목적기초연구(R01-2000-000283-0) 지원으로 수행되었음

solution을 통해 (식 2-2)를 유도해 낼 수 있다.

$$p(t, x) = f(t - x/c) + g(t + x/c) \quad \text{---(식 2-2)}$$

이는 관 내부에서 좌우로 움직이는 공기의 파동을 나타낸다. 이를 디지털화 하기 위해서는 샘플링 시간 간격(T)와 샘플링 공간 간격(X)를 이용하면 된다. 즉 Sampling rate $f_s = 1/T$ 이고 공간상의 Sampling 간격 X = cT이다. 따라서 변수 t 와 x는 다음과 같이 표현할 수 있다.

$$x \rightarrow x_m = mX$$

$$t \rightarrow t_n = nT$$

따라서 x, t 대신 mX 와 nT 를 사용해 표현하면 (식 2-2)는 (식 2-3)과 같은 디지털 도메인의 식으로 표현할 수 있다.

$$\begin{aligned} p(t_n, x_m) &= f(t_n - x_m/c) + g(t_n + x_m/c) \\ &= f(nT - mX/c) + g(nT + mX/c) \\ &= f[(n-m)T] + g[(n+m)T] \quad \text{---(식 2-3)} \end{aligned}$$

여기서 T는 샘플링 간격을 의미하는 고정된 값이고, 모든 변수에서 공통으로 사용 되므로 샘플링 수식에서 제거 할 수 있다. $p^+ = f(nT)$, $p^- = g(nT)$ 로 정의하여 +는 관을 따라 오른쪽으로 이동하는 파동이며, -는 관을 따라 왼쪽으로 이동 하는 파동이 된다. 다시 말해 (식 2-3)은 (식 2-4)와 같고, 양 방향으로 각각 m 샘플만큼 delay 된 신호를 의미 한다.

$$p(t_n, x_m) = p^+(n-m) + p^-(n+m) \quad \text{---(식 2-4)}$$

위 (식 2-4)은 (그림 1)과 같이 구현할 수 있다.

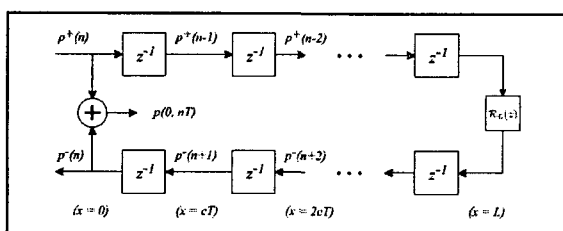


그림 1 관 속에서의 신호 이동

(그림 1)에서 위쪽 delay line은 오른쪽으로 이동하는 파동을 나타내며, 아래쪽 delay line은 왼쪽으로 이동하는 파동을 나타낸다. 위 delay line에서 한번의 신호 지연은 $X = ct$ 만큼의 거리만큼 신호가 이동하는 것을 의미하며, 끝쪽의 filter는 주파수와 관련된 악기 내부에서의 파동의 반향을 모델링 해 준다.

2.2 파동의 반향.

그림 2.1에서와 같이 모든 관악기는 끝부분에서 파동의 반향이 발생한다. 이 반향으로 인해 파동의 방향이 바뀌게 된다. 이 때, 신호의 반향은 단지 신호의 방향만을 바꾸는 역할을 하는 것이 아니라 주파수에 종속적인 반향 값을 가지게 된다. 따라서 주파수에 종

속적으로 되 돌아가는 파동의 비율이 변하게 된다. Reflection filter의 전달함수는 다음과 같이 구할 수 있다.

관 내부에서의 파동의 움직임을 다음 (식 2.5)와 같이 나타낼 수 있다.

$$P(x, t) = [Ae^{-j\kappa x} + Be^{j\kappa x}]e^{j\Omega t} \quad \text{---(식 2.5)}$$

그리고 뉴턴의 제 2 법칙을 사용하여 관 내부에서의 파동의 volume velocity(U)를 다음과 같은 (식 2.6)으로 나타낼 수 있다.

$$U(x, t) = \frac{S}{\rho c} [Ae^{-j\kappa x} - Be^{j\kappa x}]e^{j\Omega t} \quad \text{---(식 2.6)}$$

(식 2.6)에서 S 는 관의 면적을, ρ 는 공기의 밀도를 나타낸다. 그리고 (식 2.5)와(식 2.6)에서 A와 B는 복소 amplitude 값은 의미 한다. 압력과 volume velocity 를 압력에 대한 volume velocity의 비율로 나타낸 값을 wave impedance 라 하고 다음과 같이 표현할 수 있다.

$$Z = \frac{P}{U} = \frac{\rho l}{A} \quad \text{---(식 2.7)}$$

(식 2.5)의 A에 대한 B의 비율에 의해 reflectance 값이 결정되고, 다음 식으로 나타낼 수 있다.

$$R(\Omega) = \frac{B}{A} = e^{-2jKL} \frac{Z_l - Z_0}{Z_l + Z_0} \quad \text{---(식 2.8)}$$

(식 2.8)에서 Z_l, Z_0 은 각각 길이가 L인 관의 시작 부분과 끝 부분에서의 wave impedance 를 나타낸다.

2.3 음공의 모델링

음공이란 관악기의 옆면에 뚫려 있는 구멍을 의미하며 이 구멍의 막기 혹은 열기를 통해서 원하는 음을 낼 수 있다.

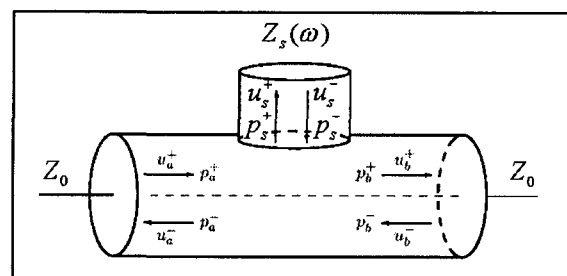


그림 2.2 음공에서의 신호 이동

음공에서 발생하는 wave impedance Z_s 에 대한

단순한 표현은 다음과 같은 식으로 나타낼 수 있다.

$$Z_s(\omega) = j\omega \frac{\rho l}{A_s} \quad (\text{식 2.9})$$

위 식에서 ρ 는 공기의 밀도를 나타내고, A_s 는 음공과 관이 교차하는 지점의 면적을 나타내며, l 은 음공의 높이를 나타낸다. 위 (식 2.12)를 디지털 도메인으로 다시 표현하면 다음 (식 2.13)과 같이 된다.

$$Z_s(z) = \frac{\rho l}{A_s} H_D(z) \quad (\text{식 2.10})$$

위 식에서 $H_D(z)$ 는

$$H_D(z) = \frac{1}{T} (1 - z^{-1}) \quad (\text{식 2.11})$$

이다

위 식을 이용해 (식 2.9)도 다음과 같이 디지털 도메인으로 나타낼 수 있다.

$$R(z) = -\frac{Z_0}{Z_0 + 2Z_s(z)} \quad (\text{식 2.12})$$

그리고 (식 2.10)에 의해 (식 2.12)를 다음과 같이 쓸 수 있다.

$$\begin{aligned} R(z) &= -\frac{Z_0}{Z_0 + 2Z_s(z)} \\ &= -\frac{(\rho c / A_0)}{(\rho c / A_0) + (2\rho l / A_s) H_D(z)} \quad (\text{식 2.13}) \end{aligned}$$

다시 (식 2.13)은 다음 (식 2.14)과 같은 reflection filter 의 전달함수로 나타낼 수 있다.

$$R(z) = -\frac{1+a}{1+az^{-1}} \quad (\text{식 2.14})$$

위 (식 2.17)에서 filter coefficient a 는

$$a = -\frac{2A_0l}{2A_0l + A_sTc} \quad (\text{식 2.14})$$

로 정의 되어 진다.

2.4 Boundary Layer Effect

그림 2.1 에서는 신호의 변화를 delay line 을 통한 한번의 unit delay 만을 기술 하고 있다. 하지만 단소 내벽과 공기의 마찰이 발생하기 때

문에 실제의 모델링에서도 이를 적용해 주어야 한다. 여기서 ‘Boundary Layer Effect’란 단소 내벽과 공기의 마찰로 인해 발생하는 신호의 손실을 의미 한다. 따라서 그림 2.1 의 각 unit delay 대신 적절한 filter 를 적용하여 Boundary Layer Effect 를 신호 이동에 적용해 주어야 한다. Boundary Layer Effect 를 적용하기 위한 filter 의 전달 함수는 다음과 같이 쓸 수 있다.

$$H(\Omega) = e^{-\alpha c T} e^{-j\Omega c T / v_p} \quad (\text{식 2.19})$$

이면 이를 다시 digital domain 으로 나타내면 다음과 같다.

$$H(z) = e^{-\alpha c T} z^{-c/v_p} \quad (\text{식 2.20})$$

이를 적용해 그림 2.1 을 다시 그리면 다음과 같다.

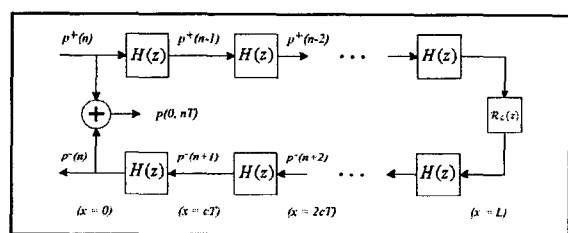


그림 2.3 신호 이동시 발생하는 손실을 적용한 모델

3. 합성결과

그림 3.1 은 본 논문에서 제시한 방법으로 합성한 음의 주파수 분포이다. 그림 3.2 의 녹음된 음과 비교했을 때 거의 유사한 주파수 분포를 확인 할 수 있었다.

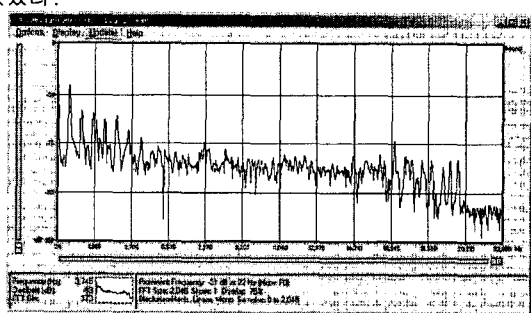


그림 3.1 합성된 음의 주파수 분포

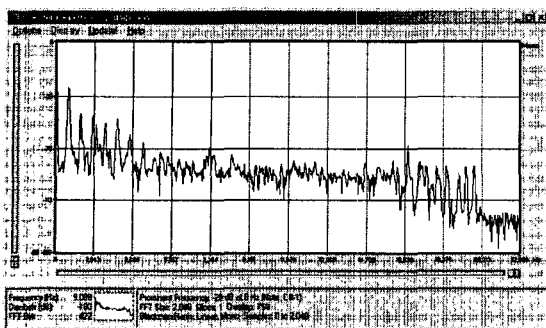


그림 3.2 녹음된 음의 주파수 분포

4. 결론 및 향후 계획

본 논문에서는 단소 음 합성을 위한 Physical Modeling에 대해 연구 하였다. 단소의 내부에서의 공기의 파동을 modeling하기 위해서 delay line을 사용하였으며, delay line의 끝에는 파동의 reflectance를 모델링하기 위한 Reflectance filter가 사용되었고, 음공의 모델링을 위해 음공에서의 신호이동을 구현하였다. 또한 Boundary Layer Effect를 실제 구현에서 적용하기 위해 filter를 사용해 신호 손실을 구현하였다.

이번 연구에서는 입력 값, 즉 취구에 가해지는 압력 값이 일정한데, 실제 연주에서는 이 입력 값의 변화를 통해 연주의 기교를 부릴수가 있다. 따라서 좀 더 유연한 연주 음을 모델링하기 위해서는 입력 값의 변화에 따른 합성음의 변화에 대하여 연구할 필요가 있다. 또한 단소의 끝에서 발생하는 신호의 반향을 구현해 주는 reflection filter에 대한 연구가 좀 더 필요 하다.

참고문헌

- [1] Gary Paul Scavone. "An Acoustic analysis of single-reed woodwind instruments with an emphasis on design and performance issues and digital waveguide modeling techniques", Stanford university, 1997
- [2] Vesa Valimaki. "Discrete-time Modeling of Acoustic Tubes Using Fractional Delay Filter", Helsinki University, 1995
- [3] J.O.Smith, "Physical Modeling Using Digital Waveguides", Computer Music Journal, special issue: Physical Modeling of Musical Instruments, Part I, vol.16, pp.74-91, Winter, 1992
- [4] Oppenheim;Willsky. "Signals & Systems", 2nd Ed. Prentice Hall, 1997
- [5] Donald E. Hall. "Musical Acoustics", 2nd Ed. B/C Publishing Company, 1991